

440

BE10

**ZAKŁAD POMIARU PARAMETRÓW PRZEPIYU**

Nazwa ONB/ZNB

Główny wykonawca ..... **mgr inż. Tadeusz Moliński** .....Wykonawcy: ..... **dr inż Wiesław Czerwiec** .......... **mgr inż Wojciech Winiarski** .......... **Bogdan Józwiak** .....

**TEMAT: Badanie wpływu wybranych węzłów konstrukcyjnych turbinowego czujnika przepływu na jego parametry trwałościowe i metrologiczne.**

**Etap 3 : Badania wpływu cech konstrukcyjnych wirnika akrylowego z ułożyskowaniem ceramicznym na parametry metrologiczne i trwałościowe turbinowego czujnika przepływu.**

(Tytuł pracy, numer i tytuł etapu)

Zleceniodawca ..... **PIAP** .....

Kierownik Zakładu DPQ

.....  
mgr inż. Wojciech WiniarskiZ-ca Dyrektora  
ds. Badawczo - Rozwojowych.....  
dr inż. Jan JabłkowskiPracę zakończono dnia ..... **1997-06-30** .....Nr arch. **Numer 7442**Nr zlecenia ..... **Zlecenie S1651** .....

## Analiza deskrytorowa

CZUJNIKI TURBINOWE, Badania

### Abstrakt

Sprawozdanie zawiera:

- Wyniki badań trwałościowych 3 szt. czujników PT32.
- Wyniki badań laboratoryjnych partii wirników akrylowych wykonanych przez zalewanie tworzywem osi z magnezem.

### Tytuły poprzednich sprawozdań

Badania trwałościowe realizowane w ramach zlecenia S1336  
Sprawozdania o następujących numerach archiwalnych:

- 6975 - Etap 1 i 2
- 7017 - Etap 3
- 7105 - Etap 4
- 7169 - Etap 5
- 7261 - Etapy 6a, 6b i 7

Zlecenie S1651

- 7320 - Etap 1
- 7363 - Etap 2

Rozdzielnik

OIN

Egz. 1. ....

DPQ

Egz. 2. ....

DPQ

Egz. 3. ....

---

## SPIS TREŚCI

### **1. Wprowadzenie**

- 1.1. Podstawa i cel realizacji pracy
- 1.2. Przedmiot badań

### **2. Próby trwałościowe łożysk ceramicznych**

### **3. Modyfikacja konstrukcji i technologii wykonania wirnika akrylowego**

- 3.1. Zakres zmian
- 3.2. Przebieg i wyniki badań
- 3.3. Określenie różnic kosztów wykonania wirników

### **4. Wnioski**

## 1. Wprowadzenie

### 1.1. Podstawa i cel realizacji pracy

Podstawą realizacji pracy było otwarcie zlecenia nr S1651 etap 3.

Celem pracy w trzecim etapie było:

- uzyskanie szerszych informacji na temat wpływu technologii wykonania wirnika akrylowego z łożyskowaniem ceramicznym na właściwości metrologiczne czujnika,
- sprawdzenie odporności wirników akrylowych z łożyskami ceramicznymi na przeciążenia, które mogą wystąpić podczas eksploatacji,
- porównanie kosztów wykonania wirników,
- określenie możliwości zastosowania łożyskowań ceramicznych i wirników akrylowych do bieżącej produkcji czujników turbinowych.

Zakres prac obejmował następujące badania:

- sprawdzenie stabilności parametrów metrologicznych (kontynuacja badań trwałościowych),
- sprawdzenie wpływu technologii wykonania wirnika akrylowego na charakterystykę wzorcowania.
- próby odporności na udary hydrauliczne czujnika z wirnikiem akrylowym,

### 1.2. Przedmiot badań

Przedmiotem badań były cztery czujniki turbinowe PT32-400M w ośmiu wykonaniach modelowych, różniących się wirnikami i średnicami łożysk:

- czujnik nr 3, 4 i 6 (według numeracji poprzedniego etapu pracy) – kontynuacja badań trwałościowych,
- czujnik nr 5 z łożyskami ceramicznymi  $\phi 1,6$  tak usytuowanych, aby istniała możliwość przeprowadzenia badań pięciu wirników akrylowych o zmienionej konstrukcji i technologii wykonania.

Do badań odporności na udary hydrauliczne wytypowano czujnik nr z wirnikiem

## 2. Próby trwałościowe łożysk ceramicznych

Podobnie jak w poprzednim etapie pracy kończąc kolejny cykl badań trwałościowych wyznaczono charakterystyki wtórne czujników (nr 3, 4 i 6) – wyniki załączono do sprawozdania.

Charakterystyka czujnika nr 3 (czopy długie  $\phi 3$ ) po 2026 godzinach próby tj. po **8104** godzinach normalnej eksploatacji nie różni się zasadniczo od charakterystyk poprzednich zarówno co do rozpiętości jak i wartości stałej K. Nie stwierdzono również zmian wyglądu i wymiarów współpracujących elementów łożyskowania wirnika.

W czujnikach nr 4 (wirnik akrylowy, łożyska  $\phi 3$ ) i nr 6 (czopy krótkie  $\phi 2$ , ceramika ITME) również nie stwierdzono zmian stałej, przebiegu charakterystyki, wyglądu i wymiarów elementów łożyskowania.

Przeprowadzone próby odporności wirnika akrylowego, na udary hydrauliczne, stanowiły uzupełnienie badań z poprzedniego etapu pracy, które potwierdziły odporność łożyskowania ceramicznego na udary tego typu.

Odporność ceramicznych elementów łożyskowych, w zestawieniu ze stalowym wirnikiem została, jak podano wyżej, sprawdzona. Wirnik akrylowy jest wprawdzie trzykrotnie lżejszy od stalowego, ale ma znacznie mniejszą wytrzymałość na udary. Konieczne więc było sprawdzenie wirnika wykonanego z tworzywa akrylowego w warunkach obciążeń udarowych, znacznie większych od występujących w normalnej pracy czujnika. Takie przeciążenia mogą wystąpić podczas pracy w cieczach o znacznych niejednorodnych zanieczyszczeniach a zwłaszcza podczas okresowych przerw strumienia płynu, szczególnie w czasie nieumiejętnego czyszczenia (płukania) czujnika przez użytkowników.

W celu zbadania odporności wirnika akrylowego na przeciążenia od udarów hydraulicznych do testowania wytypowano czujnik nr 4 (oznaczenie wg poprzedniego etapu) z łożyskami  $\phi 3$ .

Próby przeciążeniowe przeprowadzono, podobnie jak w etapie drugim, na stanowisku laboratoryjnym  $\phi 40$  w następującej kolejności:

1. Ustalono ciśnienie robocze w instalacji – 6 atm; badany czujnik zamontowano na stanowisko, instalację powoli odpowietrzono i wypełniono wodą; ustalono wartość strumienia objętości –  $Q_{max} = 24\ 000\ \text{l/h}$ ; wykonano 10 cykli dynamicznego otwierania i zamykania zaworu kulowego umieszczonego w odległości 1 m za czujnikiem (czas zamykania  $< 0.5\text{s}$ ),
2. Czynności przygotowawcze jw. – przepływ otwierany zaworem grzybkowym umieszczonym 2 m przed czujnikiem; wykonano 10 cykli możliwie najszybszego otwierania i zamykania zaworu,
3. Przeciążenie statyczne czujnika.  
Instalacja odpowietrzona i zalana wodą jw. wartość strumienia objętości podniesiono do 120%  $Q_{max}$  (30 000 l/h). Płynne otwarcie zaworu kulowego za czujnikiem; praca czujnika przez 5 minut.
4. Przeciążenie czołem fali uderzeniowej.  
Instalacja opróżniona, zawór odpowietrzający zamknięty, zawór kulowy za czujnikiem całkowicie otwarty. Szybkie otwarcie zaworu grzybkowego przed czujnikiem.

Uzyskano pozytywny wynik badania odporności wirnika akrylowego na udary hydrauliczne – czujnik przeszedł pomyślnie wszystkie, wyżej opisane, próby przeciążeniowe.

### 3. Modyfikacja konstrukcji i technologii wykonania wirnika akrylowego

#### 3.1. Zakres zmian

Zakres zmian wynikał z wniosków sformułowanych w sprawozdaniu nr 7363 z drugiego etapu pracy, które zalecały „...dalszą optymalizację geometrii wirnika oraz poszukiwanie rozwiązań technologicznych, zapewniających dokładność położenia elementów współpracujących...”.

Wyniki badań wpływu zmian geometrii wirnika akrylowego na charakterystykę czujnika przeprowadzonych w etapie 2 były trudne do zinterpretowania ze względu na jednoczesną zmianę kilku parametrów np. średnicy zewnętrznej łopatek wirnika, średnicy łożysk, położenia wirnika w komorze pomiarowej (odległość czoł łopatek od kierownic) itp.

Z tego względu przy ustalaniu, w etapie 3, zmian konstrukcyjnych wirnika akrylowego i technologii jego wykonania położono nacisk na powtarzalność wymiarów, położenie elementów współpracujących i usytuowanie wirnika w komorze pomiarowej.

Osiągnięto to w sposób następujący:

- przygotowano (po konsultacji z zewnętrznym wykonawcą wirników) 5 identycznych podzespołów (oś ceramiczna z magnesami – rys.1), które zostały następnie zalane tworzywem akrylowym,
- opracowano i wykonano przyrząd upraszczający proces odlewania wirników i zapewniający uzyskanie właściwych dokładności kształtu (rys.2),
- przygotowano jeden czujnik (nr 5 wg oznaczeń z poprzedniego etapu), w którym kolejno przeprowadzono badania (wyznaczano charakterystyki) wszystkich uprzednio wykonanych.

Dotychczasowe wyniki badań zarówno łożyskowań ceramicznych, jak i lekkich wirników akrylowych pozwalają przypuszczać, że w niedługim czasie te elementy zostaną wprowadzone do bieżącej produkcji czujników turbinowych.

Z tego względu, do wykonania form odlewniczych wirników akrylowych, wykonano model według rysunku wirnika czujnika PT-32 (rys.M-1).

Technologia wykonania wirników jest typową technologią stosowaną w pracowniach protetycznych; polega na zaformowaniu wcześniej wykonanego modelu w masie formierskiej elastycznej (np. agarowej), a następnie zalaniu formy tworzywem akrylowym. Trudności uzyskania jednakowych odlewów (powtarzalnych wymiarów) wynikają z konieczności wykonywania każdorazowo nowej formy i problemów z jednoznacznym usytuowaniem zalewanych elementów. Nie mniej ważne jest również przygotowanie tworzywa akrylowego (dokładność dozowania utwardzacza, zmieszanie masy) i sposób zalewania formy (grawitacyjnie, pod ciśnieniem, w komorze próżniowej).

Wirniki nr 3,4 i 5 (rys. odpowiednio – 3,4 i 5) wykonano z czeskiego tworzywa *DURACRYL PLUS*, baza gipsowa, masa agarowa zalewanie grawitacyjne.

Wirniki nr N1 i N2 (rys. N1, N2) wykonano z tego samego tworzywa zalewanego grawitacyjnie, masa *ALGINAT*, bazę stanowiła płyta dolna przyrządu przedstawionego na rys.2.

### 3.2. Przebieg i wyniki badań

Badania czujników z wirnikami akrylowymi w odmianach technologicznych przedstawionych wyżej ograniczono do ich wzorcowania. Pomiarów przeprowadzono na stanowisku zestawionym identycznie jak w poprzednim etapie pracy. Wyniki pomiarów w postaci tabel i charakterystyk wstępnych załączono do sprawozdania. Sporządzono także wykres zbiorczy ułatwiający porównanie poszczególnych charakterystyk i sformułowanie wniosków.

Wirniki przed badaniami nie poddawano obróbce wykańczającej wyjątek stanowiło przetoczenie czół piast, w celu uzyskania właściwego luzu wzdłużnego w łożyskowaniu.

Osiągnięte w tych warunkach wyniki należy uznać za zadowalające; wszystkie modele osiągnęły rozpiętość charakterystyki mniejszą od  $\pm 1\%$  przy zakresowości 30:1, a modele z wirnikami nr 3 i 5, mniejszą od  $\pm 1\%$  przy zakresowości 60:1! (wykres 1).

Dużą rozpiętość stałych ( $\pm 10\%$ ), w odniesieniu do całej partii wirników można tłumaczyć stanem powierzchni piast wirników (den wrębów międzyłopatkowych) oraz zróżnicowanym stanem krawędzi łopatek na napływie i spływie.

Prawdopodobnymi przyczynami podniesienia się charakterystyk modeli z wirnikami nr N1, N2, 4 i 5 na początku zakresu są różnice wymiarów szerokości łopatek i średnic zewnętrznych wirników, natomiast podniesienie się charakterystyki modelu z wirnikiem nr N2 na końcu zakresu wynika z większego oddalenia łopatek wirnika od kierownicy tylnej, a co za tym idzie ze zmniejszonego hamowania wirnika przy dużych przepływach.

### 3.3. Określenie różnic kosztów wykonania wirników

<b>Wirnik stalowy (1H18N9T)</b>	tulejki łożyskowe	kamień oporowy
– prace tokarskie	48.-	7.-
– frezowanie	144.-	
– czopy	96.-	
– magnes	20.-	
– montaż	48.-	
– wyważanie	20.-	
– materiały	5.-	
Suma:	381.-	Razem: 436.-

<b>Wirnik akrylowy</b>	tulejki łożyskowe	kamienie oporowe
– oś ceramiczna	40.-	20.-
– magnes + drażnienie otworu	30.-	
– montaż podzespołu osi	10.-	
– wirnik (odlew)	50.-	
– materiały	15.-	
Suma:	145.-	Razem: 225.-

#### 4. Wnioski

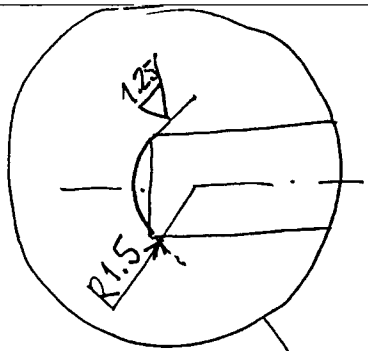
1. Kolejny etap badań czujników z ułożyskowaniem ceramicznym potwierdził wyjątkową odporność tego materiału na zużycie. Nie stwierdzono zasadniczych zmian w charakterystykach czujników, nie było możliwe również określenie stopnia zużycia współpracujących elementów ułożyskowania. w tej sytuacji zasadny staje się wniosek **aby przerwać badania trwałościowe** czujników z ułożyskowaniem ceramicznym.

Celowe byłoby jednak przeprowadzenie badań eksploatacyjnych na wybranych obiektach rzeczywistych. Wymagałoby to wykonania nowej partii wirników i zastosowania nowych zoptymalizowanych ułożyskowań ceramicznych (rys.6), które wykonuje na nasze zamówienie ITME.

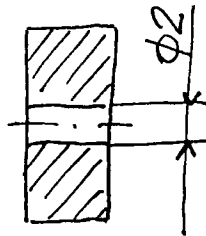
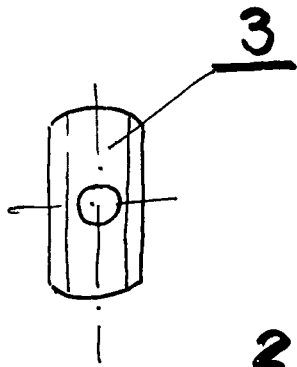
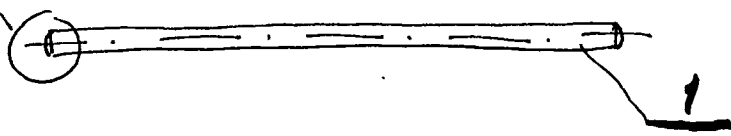
2. Nowa technologia wykonania wirników (zalewanie tworzywem podzespołu przelotowej osi z magnezem), zapewnia współosiowość czopów, pewne oddzielenie magnezu od mierzonego medium (całkowita szczelność) oraz pełną symetrię zespołu wirnika co praktycznie eliminuje potrzebę wyważania.

3. Celowe byłoby kontynuowanie badań wirników akrylowych w kierunku określenia dopuszczalnych rozrzutów tych wymiarów wirnika, które decydują o dokładności i powtarzalności parametrów metrologicznych czujnika.

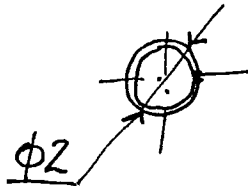
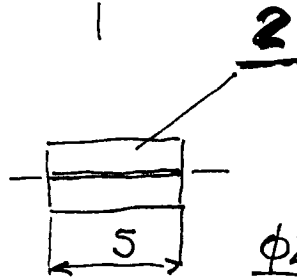




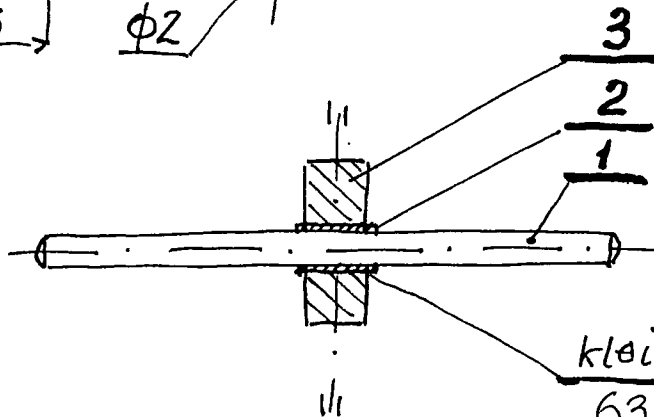
zakończenie obu końców  
 wiatka  $\phi 1.6 \times 31$   
 (ceramika ITME - utożyskowanie  
 ST).



otwór w magnesie  
 statym stosowa-  
 nym w wirnikach  
 czujników PT-32.



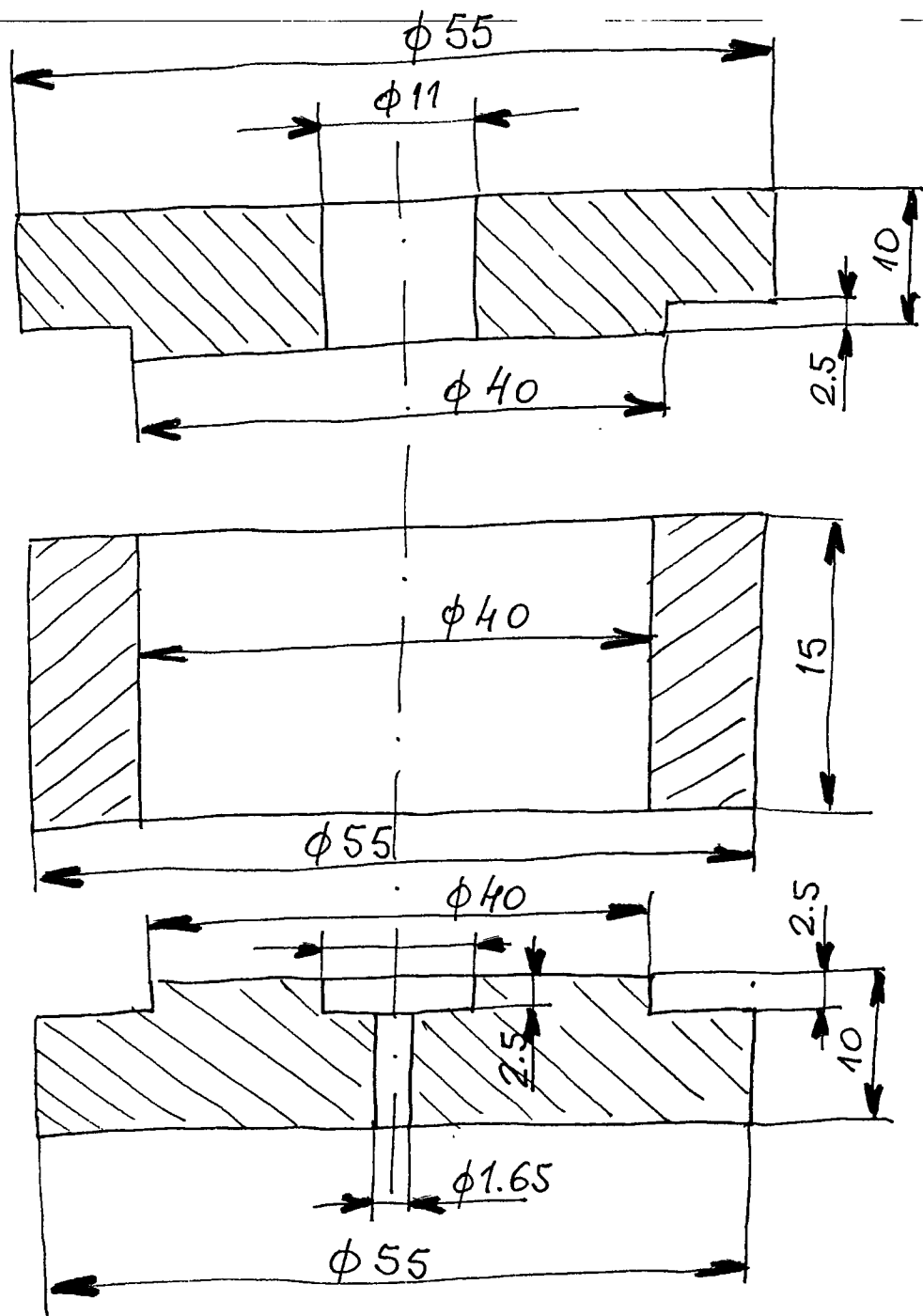
tulejka pośrednia  
 $M_0 \neq 0.1$



klej LOCTITE  
 638 + akt. 764 „N”

Podzespół osi wirnika

rys. 1.

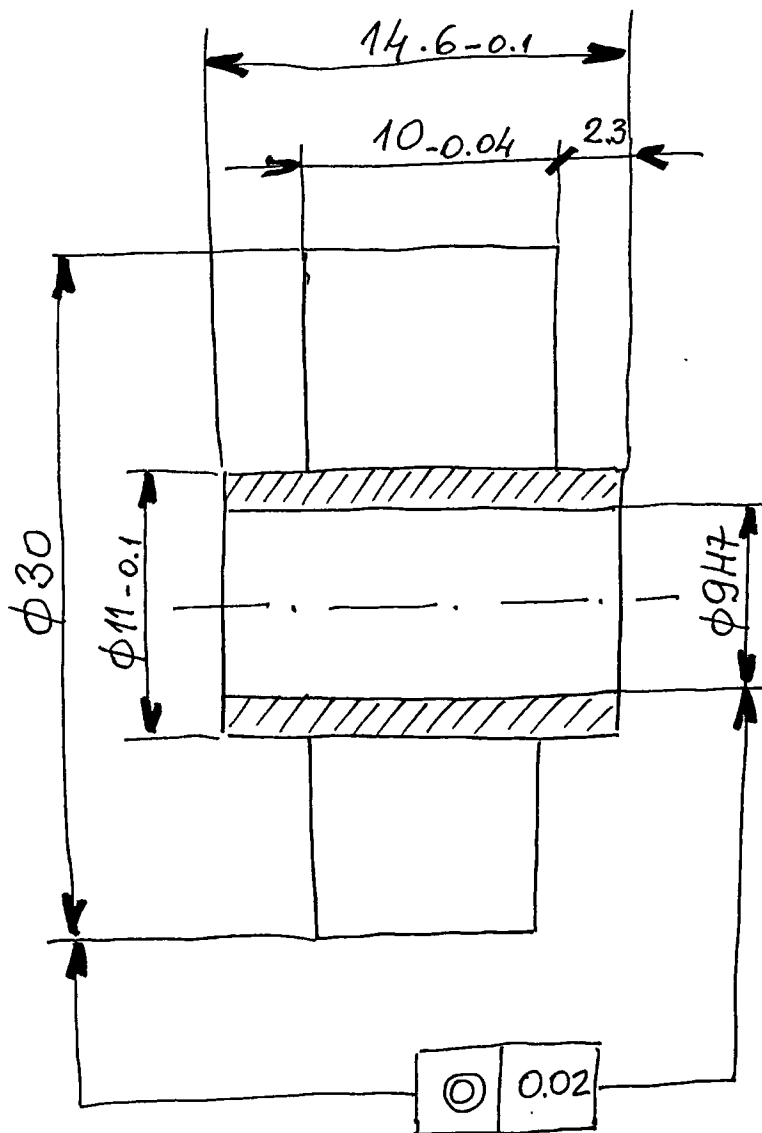


szerokość łopatek  $15 - 2 \times 2.5 = 10$

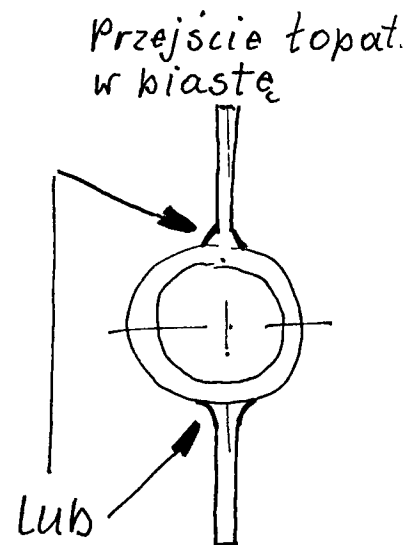
Przyrząd do odlewania  
wirników akrylowych

mat. PA4

rys. 2.

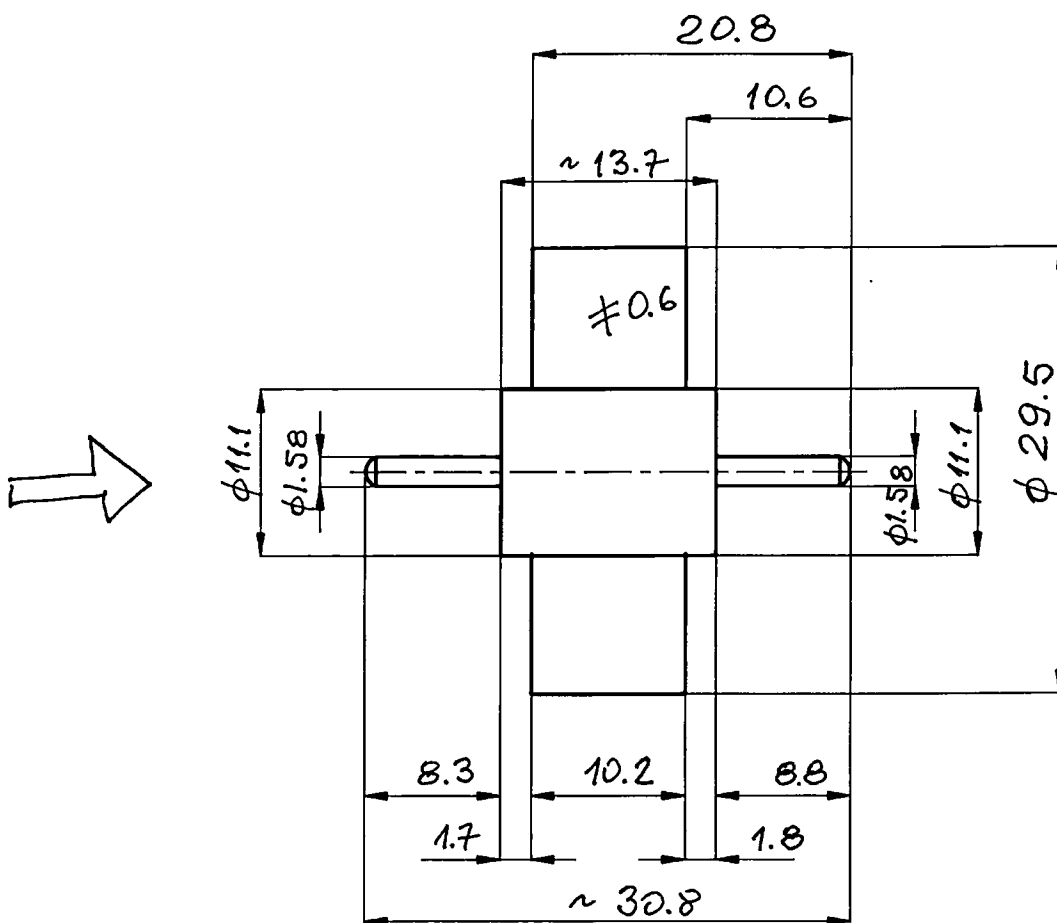


- Liczba topatek 6
- skok linii śrubowej - 64
- kierunek linii śrubowej - prawy
- grubość topatki na wierzch. - 0.8



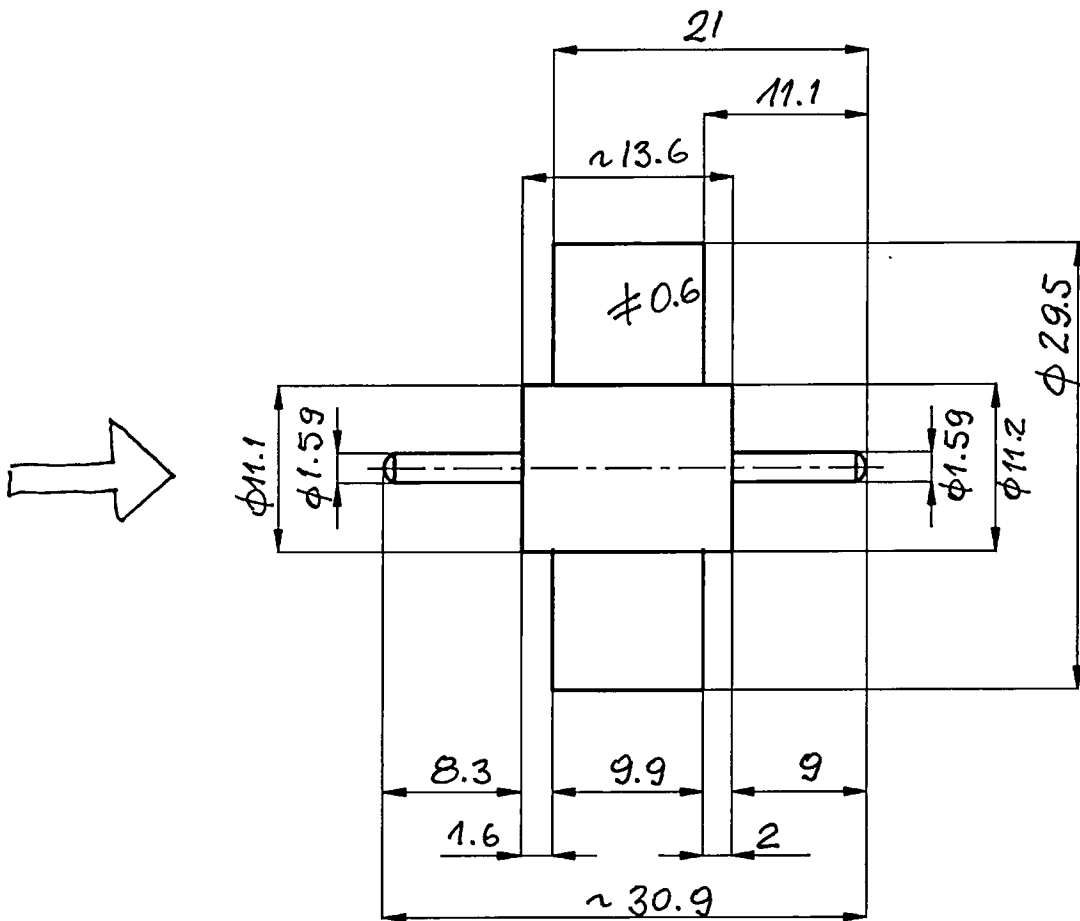
- Uwaga:
1. Utrzymać jednakową grubość topatek
  2. Usunąć zadziory zachowując ostre krawędzie.

Model wirnika mat. PA6 rys. M-1



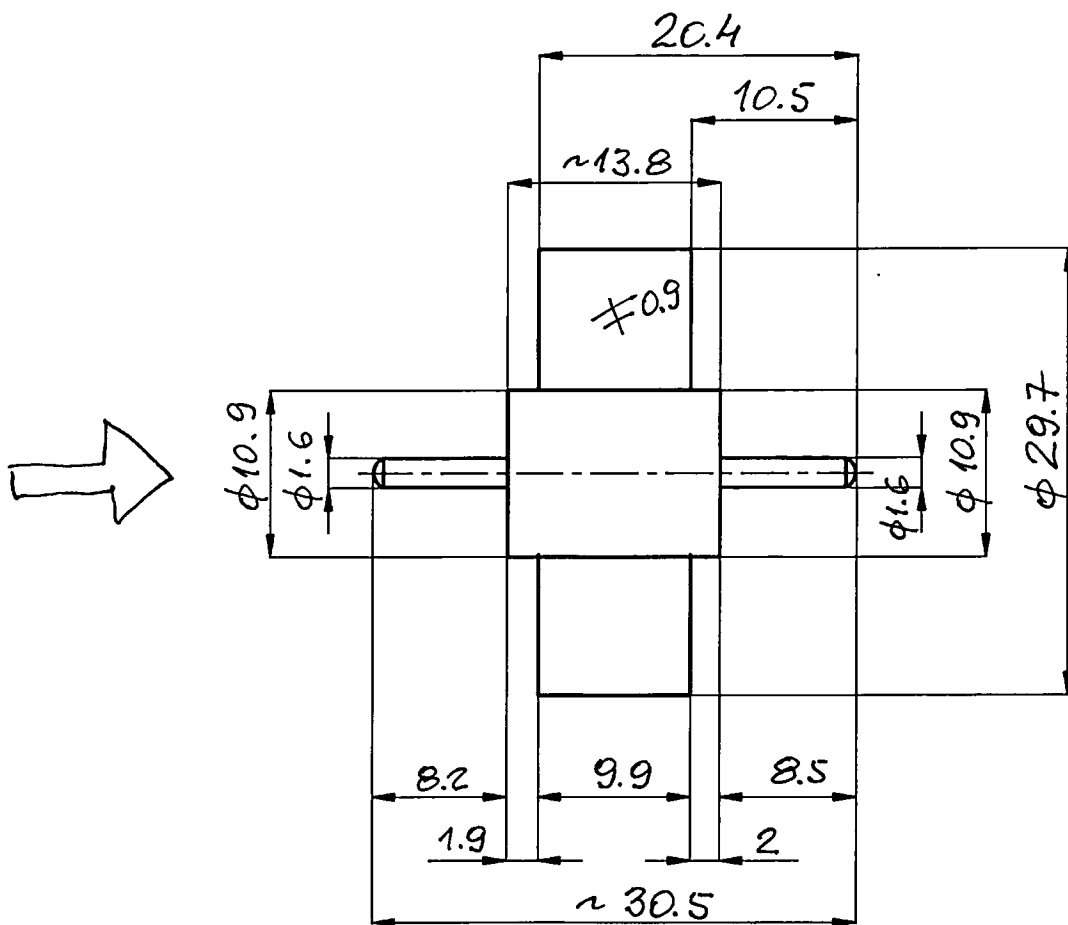
rys. N1

- Uwagi:
1. Wirnik wykonany z wykorzystaniem przyrządu (rys. 2)
  2. Masa formierska ALGINAT
  3. Zalążanie – grawitacyjne



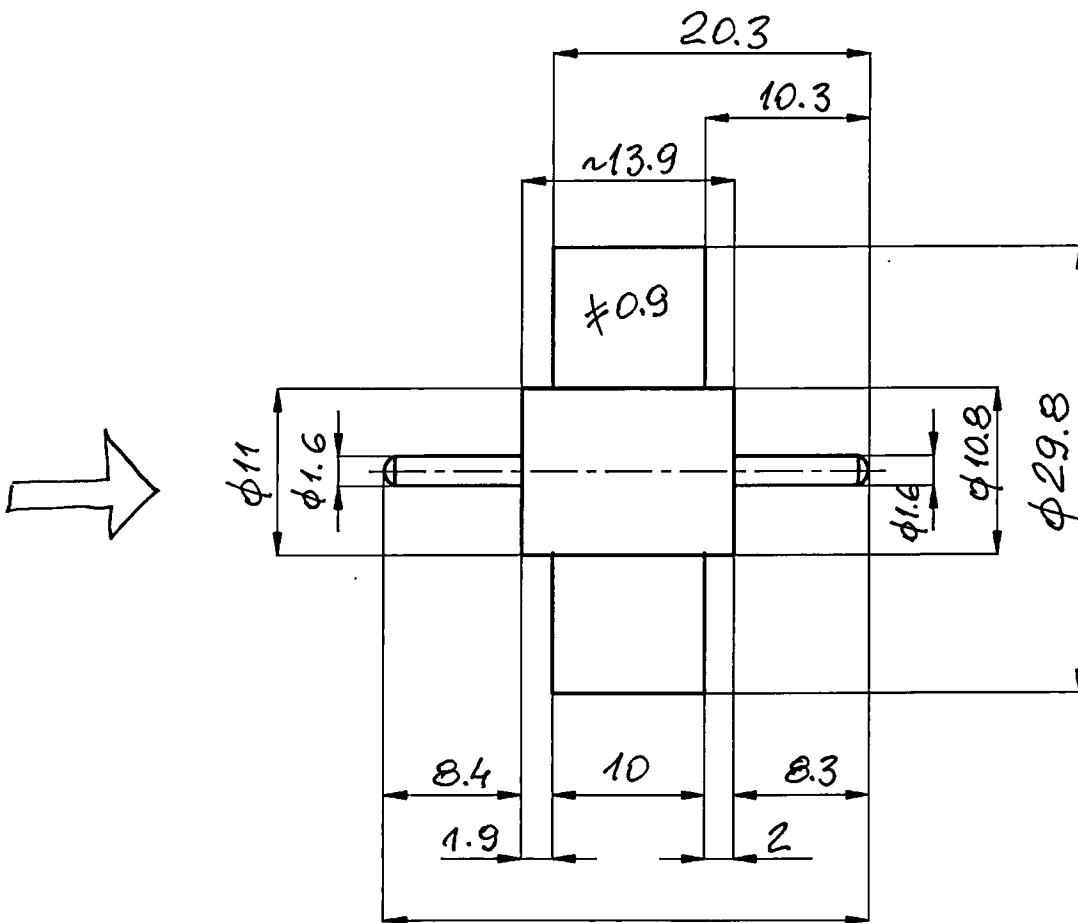
rys. N2

- Uwagi:
1. Wirnik wykonany z wykorzystaniem przyrządu (rys.2)
  2. Masa formierska: ALGINAT
  3. Zalazanie - grawitacyjne



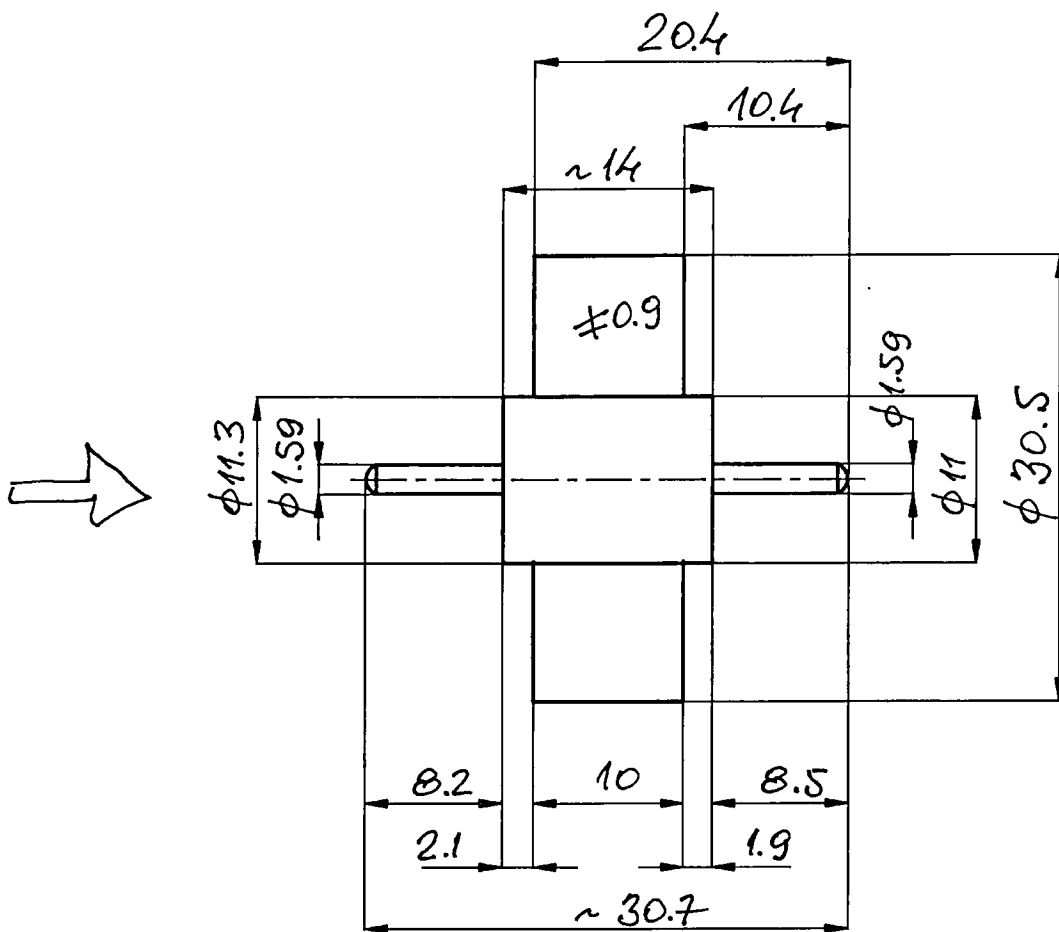
rys. 3

- Uwagi:
1. Wirnik wykonany w formie agarowej, baza - gipsowa
  2. Zalążanie - grawitacyjne
  3. Opaczopy docierane pastą diamentową do wym.  $\phi 1.59$
  4. Opis wirnika (na łopatkach) przeciwny do kier. przepływu.



rys. 4

- Uwagi:
1. Wirnik wykonany w formie agarowej, baza gipsowa
  2. Zalewanie - grawitacyjne
  3. Oba czopy docierane pastą diamentową do wym.  $\phi 1.59$

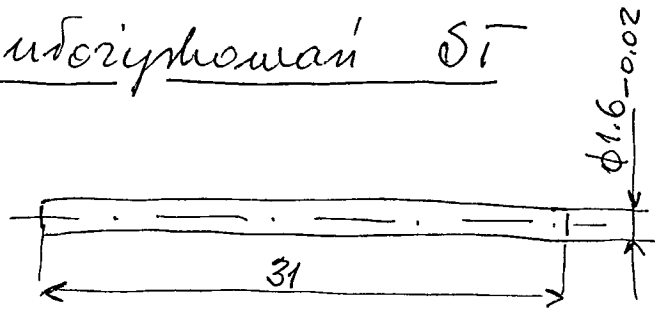


rys. 5

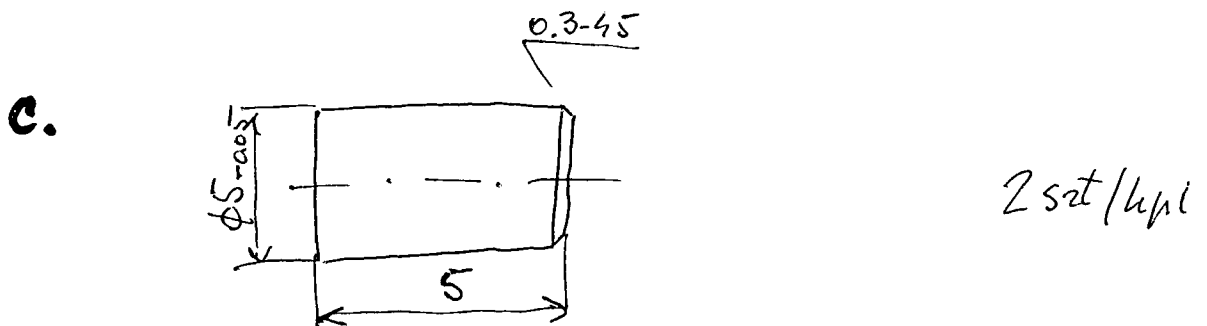
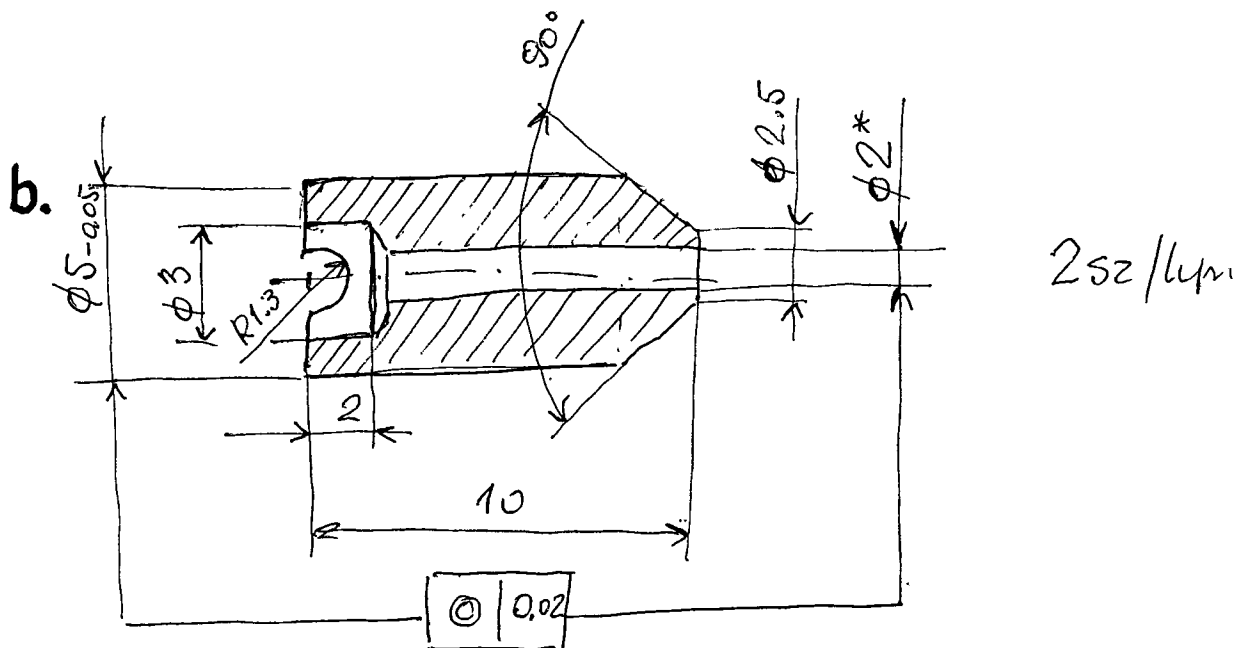
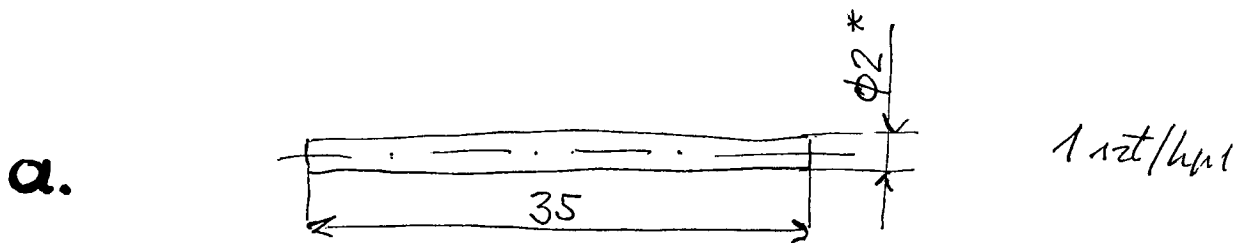
- Uwagi:
1. Wirnik wykonany w formie agarowej, baza gipsowa
  2. Zalewanie grawitacyjna.



1. Ocie wykorzystowan  $\delta T$



2. Wykorzystowanie P<sub>T</sub> (kpl.)



rys. 6

Uwaga: Różnica średnic elem. współpracujących ( $\phi 2^*$ ) powinna zapewnić luz 0.1 mm.

17

CZUJNIK NR

3

Bo 3844,55 calum

PT 32-400M

DATA 18.07.2012

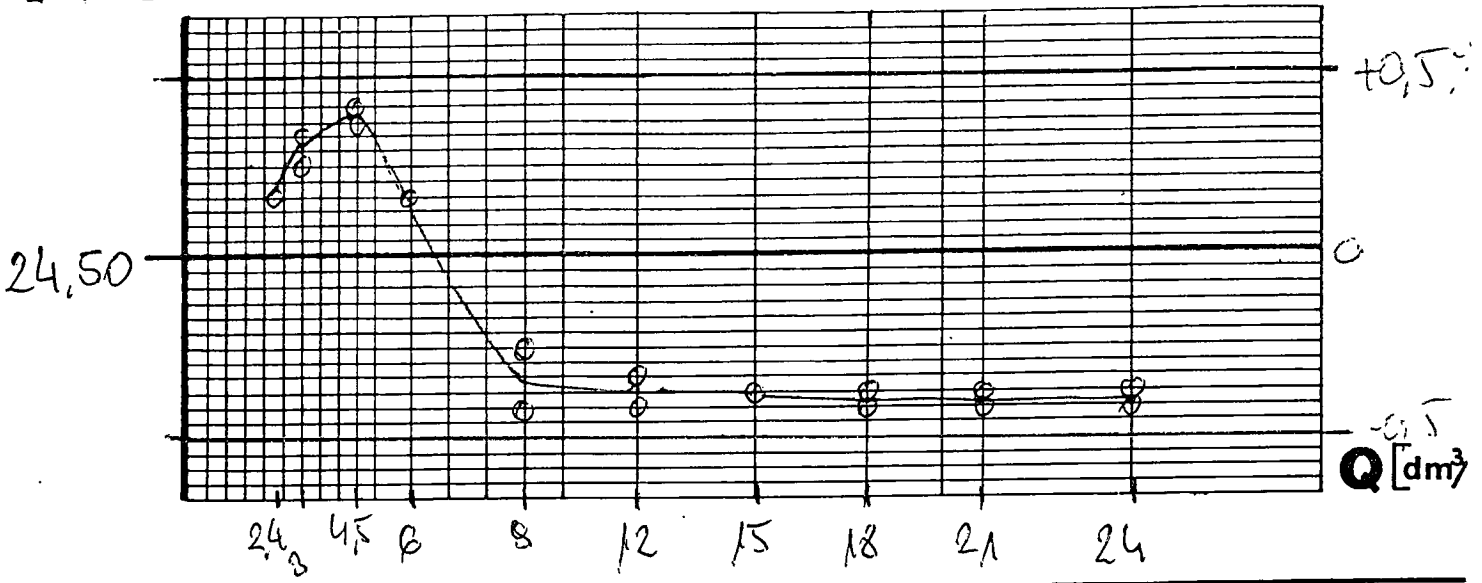
MIERNIK NR

wzorcowanie wodą

WZORCOWAL

*[Signature]*

[imp/dm<sup>3</sup>] K



Lp.	Q [dm <sup>3</sup> /h]	N [imp]	H [mm]	V [dm <sup>3</sup> ]	K [imp/dm <sup>3</sup> ]
1	24000	4924	799,5	201,72	24,41
2	24000	4895	795	200,6	24,40
3	24000	4840	786	198,38	24,40
4	21000	4909	797	201,10	24,41
5	18000	4932	801	202,10	24,40
6	18000	4921	799	201,60	24,41
7	15000	4954	811	204,60	24,41
8	15000	4964	806	203,38	24,41
9	12000	4985	809	204,10	24,42
10	12000	4937	802	202,35	24,40
11	9000	4992	810,5	204,47	24,41
12	9000	4952	803	202,60	24,44
13	6000	4974	803,5	202,72	24,54
14	6000	4991	806	203,38	24,54
15	4500	5001	806	203,38	24,59
16	4500	5129	826,5	208,46	24,60
17	3000	4975	803	202,60	24,56
18	3000	4965	800,5	201,97	24,58
19	2400	4968	798	201,60	24,49
20	2400	4972	803	202,60	24,54
21	2400	4952	799,5	201,72	24,54

CZUJNIK NR (4)

70 · 3544,55 gódk

PI 32-400M

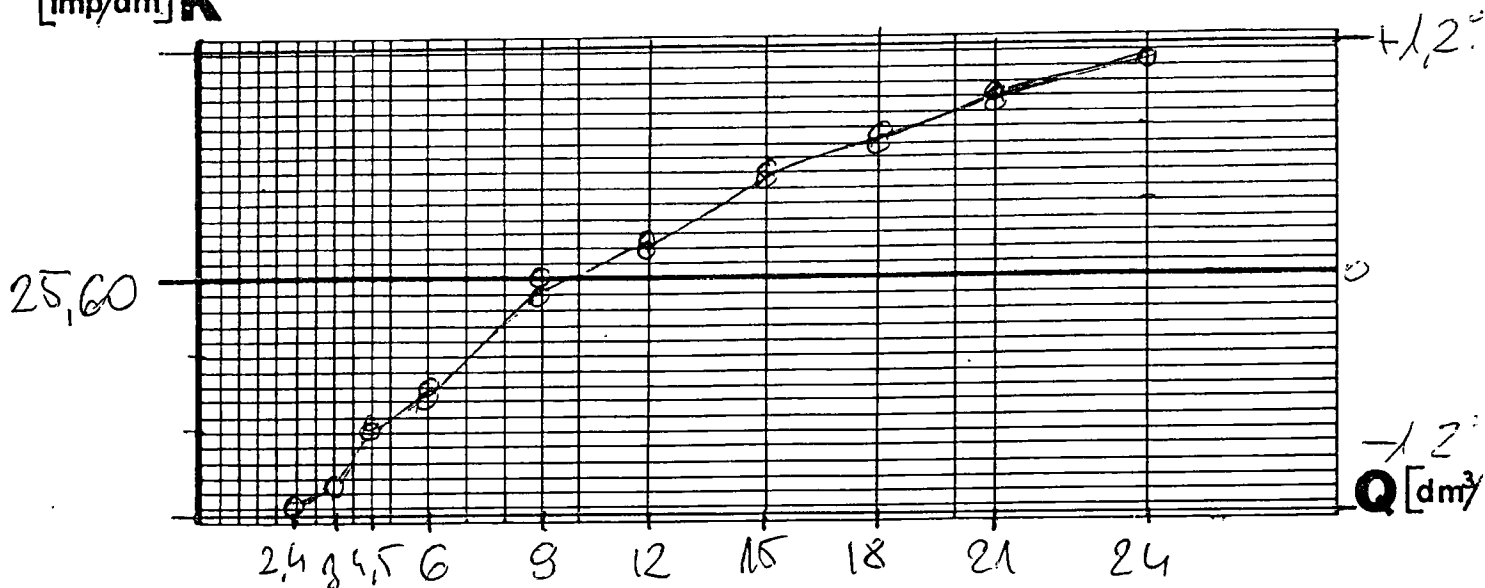
DATA 16. 09. 97

MIERNIK NR

wzorcowanie wodą

WZORCOWAL

[imp/dm<sup>3</sup>] K



Lp.	Q [dm <sup>3</sup> /h]	N [imp]	H [mm]	V [dm <sup>3</sup> ]	K [imp/dm <sup>3</sup> ]
1	24000	4927	754	180,33	25,89
2	24000	5131	785	188,22	25,89
3	21000	5235	803	202,60	25,84
4	21000	5407	783,5	197,72	25,83
5	18000	5222	825	202,47	25,79
6	18000	5197	799	201,60	25,78
7	15000	5177	797,5	201,22	25,73
8	15000	5196	800	201,85	25,74
9	12000	5173	789,5	201,72	25,64
10	12000	5142	784,5	200,47	25,65
11	9000	5161	799	201,60	25,60
12	9000	5170	801	202,10	25,58
13	6000	5138	800	201,88	25,45
14	6000	5098	793,5	200,72	25,46
15	4500	5111	797,5	201,22	25,40
16	4500	5104	786	200,85	25,41
17	3000	5120	801	202,10	25,33
18	3000	5113	800	201,85	25,33
19	2400	5064	793	200,10	25,31
20	2400	5116	801,5	202,22	25,30

70 3544;55 godzi

CZUJNIK NR

6

PT 32-400M

DATA

16.06.2012

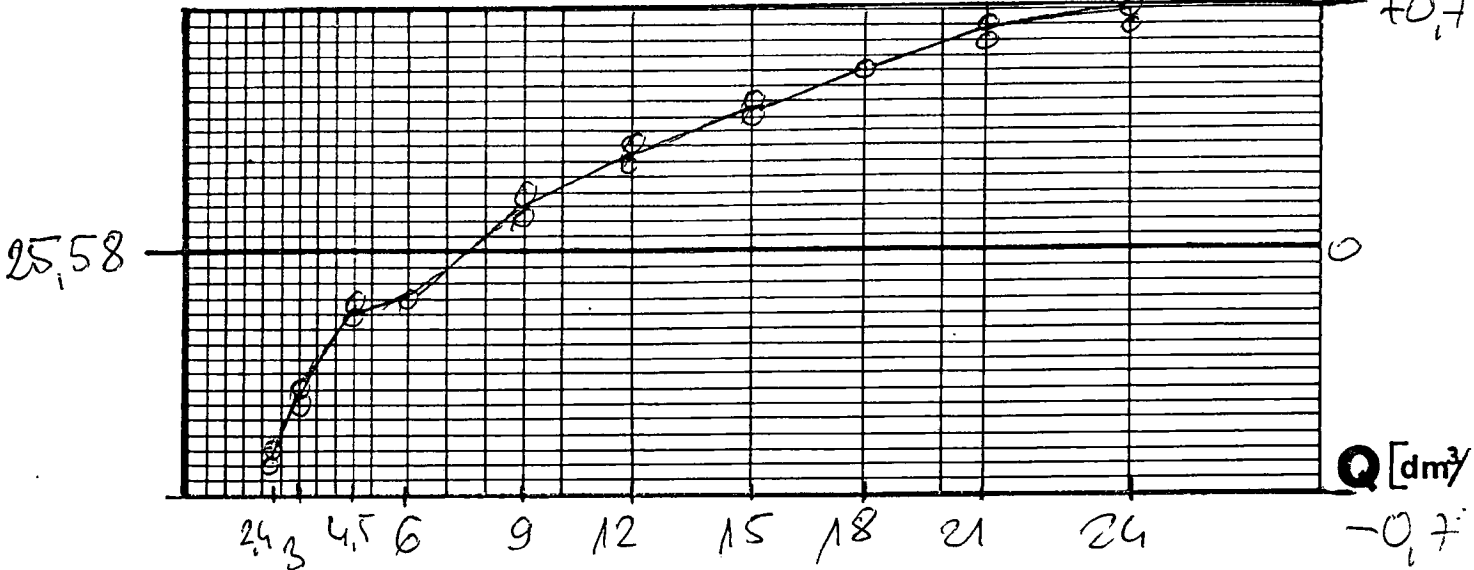
MIERNIK NR

wzorcowanie woda

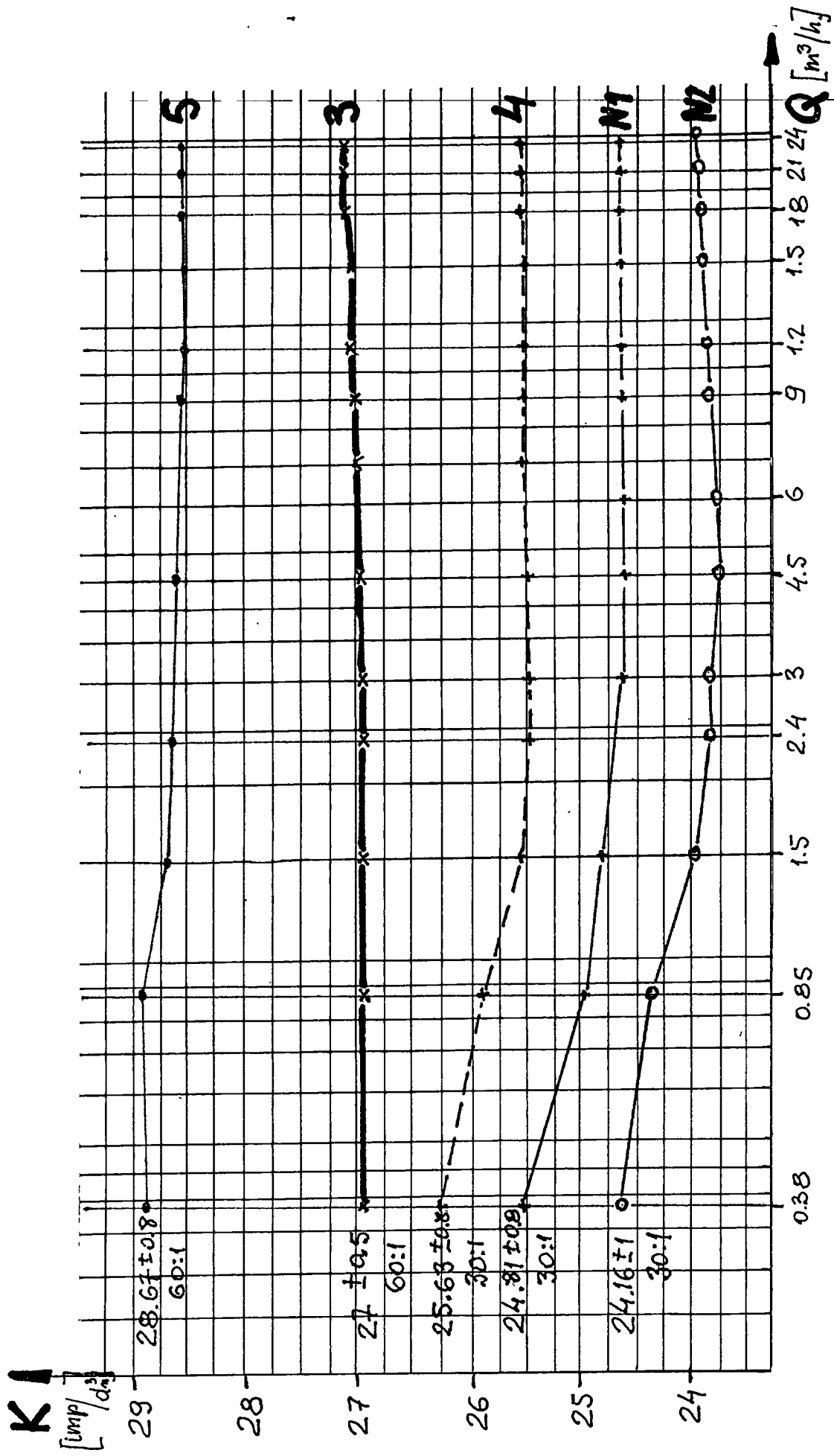
WZORCOWANIE

[imp/dm<sup>3</sup>] K

Handwritten signature and notes



Lp.	Q [dm <sup>3</sup> /h]	N [imp]	H [mm]	V [dm <sup>3</sup> ]	K [imp/dm <sup>3</sup> ]
1	24000	4937	760	191,84	25,73
2	24000	5151	793	202,10	25,74
3	21000	5199	801	202,10	25,72
4	21000	5174	797	201,10	25,73
5	18000	5175	798	201,36	25,70
6	18000	5136	792	199,86	25,70
7	15000	5144	784	202,36	25,68
8	15000	5137	793	200,10	25,67
9	12000	5145	795	200,60	25,65
10	12000	5143	795	200,60	25,64
11	8000	5154	798	201,36	25,60
12	8000	5075	785	198,10	25,62
13	6000	5146	798	201,36	25,55
14	6000	5151	799	201,60	25,55
15	4500	5130	796	202,85	25,54
16	4500	5164	801	202,10	25,55
17	3000	5128	797,5	201,22	25,48
18	13000	5084	792	199,86	25,49
19	2400	5140	800,5	201,97	25,45
20	2400	5116	797	201,10	25,44



Wykres 1.

CZUJNIK NR 5

PT 32-500M

DATA 23.06.07

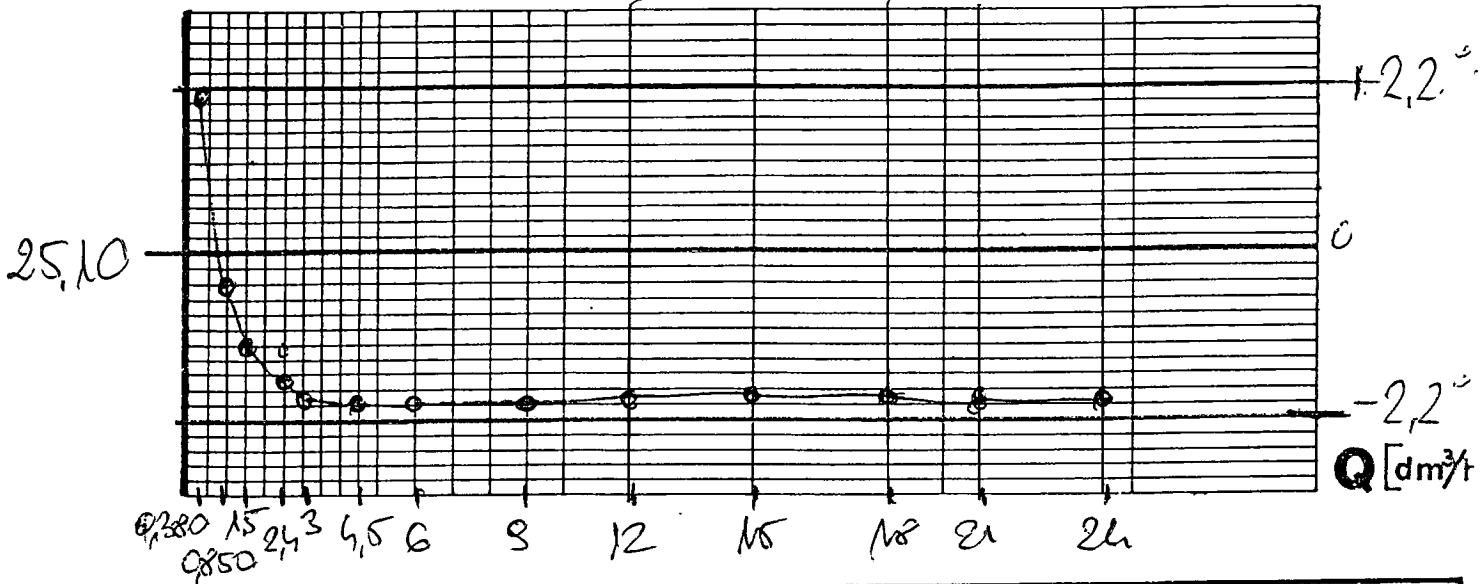
MIERNIK NR

wzorcowanie wodą

WZORCOWANIE [signature]

[imp/dm³] K

WIRNIK N1 (N1)



Lp.	Q [dm³/h]	N [imp]	H [mm]	V [dm³]	K [imp/dm³]
21	1500	4953	792	189,86	24,78
22	1500	4941	790	189,35	24,79
23	850	4958	786	188,35	24,89
24	850	4984	780	189,35	25,00
25	1380	5003	775,5	185,72	25,56
26	1380	5317	823	207,59	25,61

22

WIRNIK NR ⑤

PT 32-500M  
wzorcowanie wodą

DATA 23.06.97  
WZORCOWAŁ [signature]

WIRNIK NR [blank]  
K [blank] imp/dm³

Q [dm³/h]

Lp.	Q [dm³/h]	N [imp]	H [mm]	V [dm³]	K [imp/dm³]
1	24000	5025	809	204,10	24,62
2	22000	4968	800	201,85	24,61
3	21000	4980	801,5	202,22	24,63
4	21000	4930	794	200,35	24,61
5	18000	4960	798	200,60	24,63
6	18000	4951	797	201,10	24,62
7	15000	4940	795	200,60	24,63
8	15000	5078	811	204,60	24,62
9	12000	4943	796	200,85	24,61
10	12000	4941	795	200,72	24,62
11	9000	4938	795	200,60	24,62
12	9000	4935	794,5	200,47	24,62
13	6000	5133	827	200,59	24,61
14	6000	5030	810,5	204,47	24,60
15	4500	4971	800,5	201,97	24,61
16	4500	4943	796	200,88	24,61
17	3000	4928	792,5	199,98	24,64
18	3000	4988	795	200,60	24,62
19	2400	4936	793	200,10	24,64
20	2400	8767	1090	274,36	24,66

CZUJNIK NR 5

PT32-500M

DATA 24.06.87

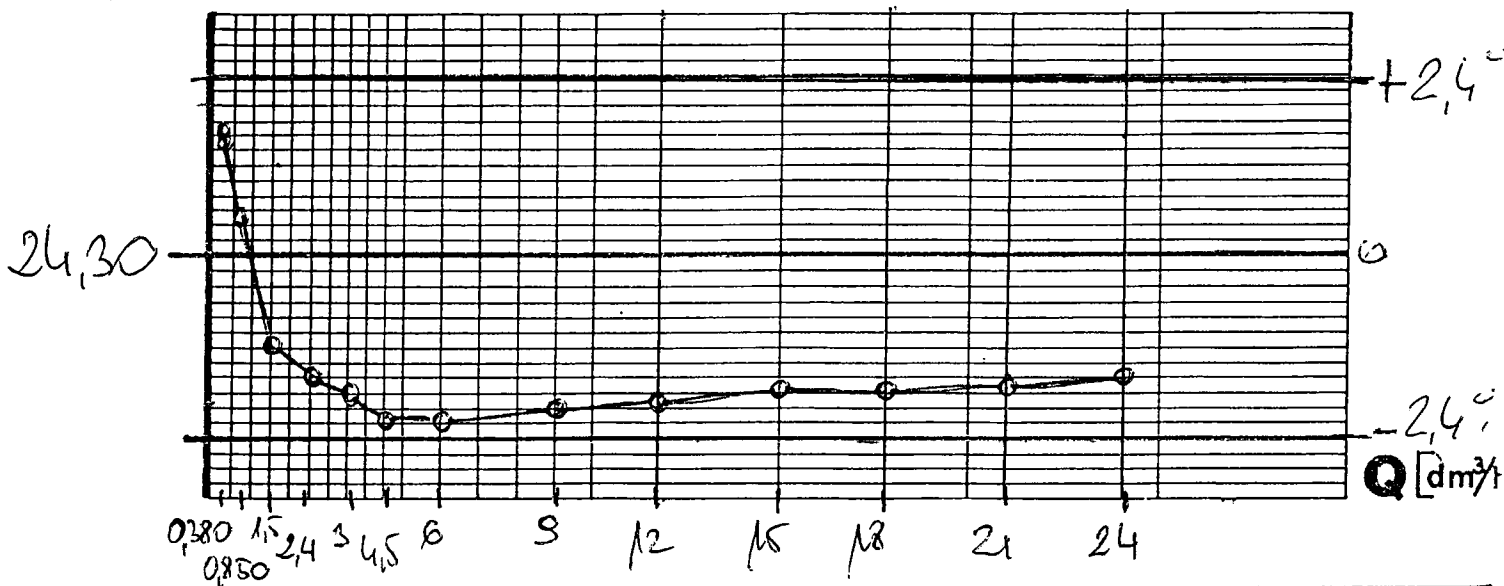
MIERNIK NR

wzorcowanie woda

WZORCOWAŁ

[imp/dm³] K

WIRNIK N2



Lp.	Q [dm³/h]	N [imp]	H [mm]	V [dm³]	K [imp/dm³]
21	1500	4947	816,5	205,96	24,02
22	1500	4819	785	200,60	24,02
23	850	4786	779,5	196,22	24,64
24	850	5871	854	240,28	24,43
25	1680	4386	705	178,06	24,68
26	1380	5035	807	203,6	24,73

24





CZUJNIK NR **(5)**

PI 32-500T

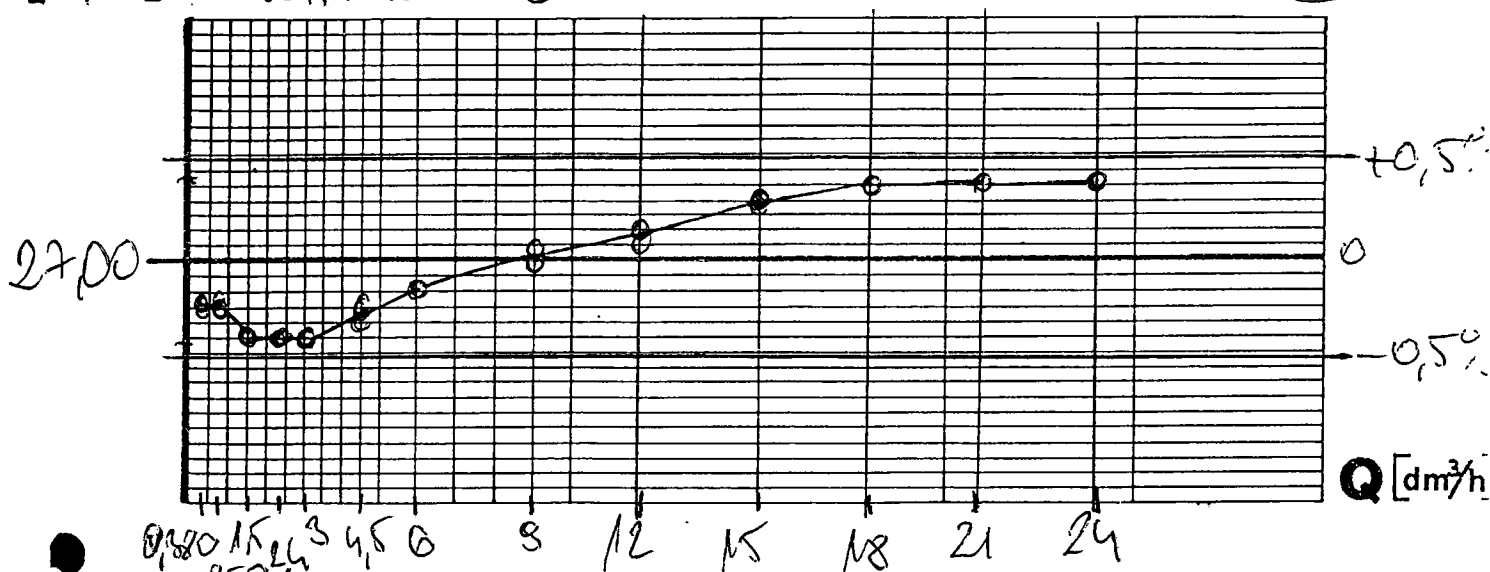
DATA 27.07.2018

MIERNIK NR \_\_\_\_\_

wzorcowanie wodą

WZORCOWAŁ \_\_\_\_\_

[imp/dm<sup>3</sup>] **K** WIRNIK N3



Lp.	Q [dm <sup>3</sup> /h]	N [imp]	H [mm]	V [dm <sup>3</sup> ]	K [imp/dm <sup>3</sup> ]	
21	1500	5378	182	199,86	26,91	
22	1500	5356	189	199,10	26,90	
23	850	5386	189	199,86	26,95	
24	850	5346	186	199,38	26,94	
25	1380	5386	192	199,86	26,95	
26	1380	5370	180	199,38	26,94	

ZUJNIK NR ⑤

PT 32-500M

DATA 26.09.97

MIERNIK NR

wzorcowanie wodą

WZORCOWAŁ

[imp/dm<sup>3</sup>] K WIRNIK N3

Q [dm<sup>3</sup>/h]

Lp.	Q [dm <sup>3</sup> /h]	N [imp]	H [mm]	V [dm <sup>3</sup> ]	K [imp/dm <sup>3</sup> ]
1	21000	5059	739	186,58	27,11
2	21000	5462	789	201,60	27,09
3	21000	5401	789,5	199,22	27,11
4	21000	5402	790	199,35	27,10
5	18000	5388	788	198,85	27,10
6	18000	5407	791	199,61	27,09
7	15000	5386	788,5	198,97	27,07
8	15000	5408	791,5	199,73	27,08
9	12000	5387	790	199,35	27,02
10	12000	5377	788	198,85	27,04
11	9000	5059	742	187,33	27,01
12	9000	5387	791	199,61	26,99
13	6000	5382	791	199,61	26,96
14	6000	5397	793	200,10	26,97
15	4500	5330	784,5	197,97	26,92
16	4500	5357	788	198,85	26,94
17	3000	5390	784	200,35	26,90
18	3000	5317	783	197,60	26,91
19	2100	5388	784	200,35	26,89
20	2100	5393	786,5	200,47	26,90

27

CZUJNIK NR 5

32-500M

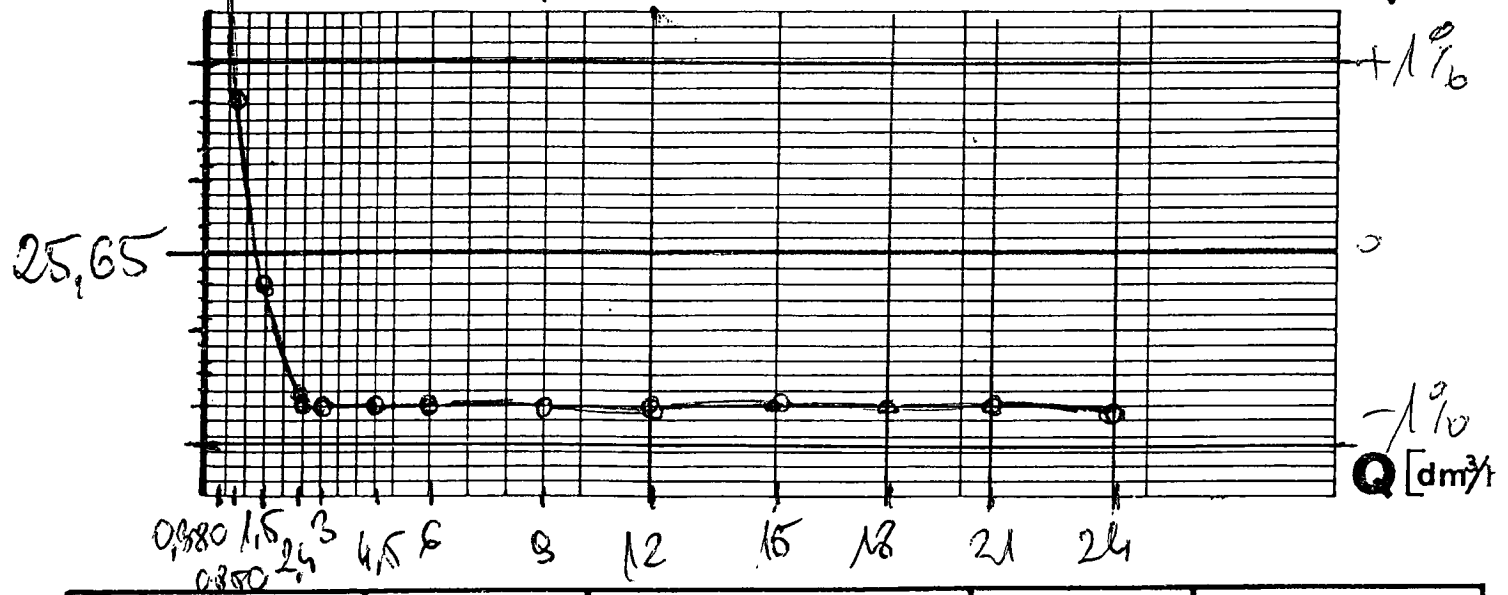
DATA 27.06.87r.

MIERNIK NR

wzorcowanie woda

WZORCOWANIE [signature]

[imp/dm<sup>3</sup>] K WIRNIK N4



Lp.	Q [dm³/h]	N [imp]	H [mm]	V [dm³]	K [imp/dm³]
21	1500	5117	793	200,10	27,57
22	1500	5528	855	215,58	28,60
23	850	5876	801,5	227,18	28,86
24	850	5385	818	206,34	28,86
25	1380	5164	782	197,35	26,17
26	1380	5236	789	199,10	26,30
27	1380	5220	788	198,85	26,25

JUNIK NR (5)

PT 32-500M

DATA 27.09.97

MIERNIK NR

wzorcowanie woda

WZORCOWAŁ

[imp/dm<sup>3</sup>] K WIRNIK N4

Q [dm<sup>3</sup>/h]

Lp.	Q [dm <sup>3</sup> /h]	N [imp]	H [mm]	V [dm <sup>3</sup> ]	K [imp/dm <sup>3</sup> ]	
1	24000	5255	819	206,59	25,44	
2	24000	5069	780,5	199,47	25,41	
3	24000	5087	793,5	209,22	25,46	
4	24000	5089	792,5	199,98	25,45	
5	18000	5087	789	199,10	25,45	
6	18000	5099	784	200,36	25,45	
7	18000	5067	789	199,10	25,45	
8	18000	5061	788	198,88	25,45	
9	12000	5081	791	199,61	25,45	
10	12000	5089	784	200,35	25,45	
11	9000	5079	791	199,61	25,44	
12	9000	5134	795	201,72	25,45	
13	6000	5070	789,5	199,22	25,45	
14	6000	5078	791	199,61	25,44	
15	4500	5106	795,5	200,72	25,44	
16	4500	5149	802	202,86	25,45	
17	3000	6132	956,5	240,9	25,45	
18	3000	5913	922	232,30	25,45	
19	2400	5080	790,5	199,47	25,47	
20	2400	5085	791,5	199,73	25,46	

CZUJNIK NR (5)

PT 32-500M

DATA 26.06.87r.

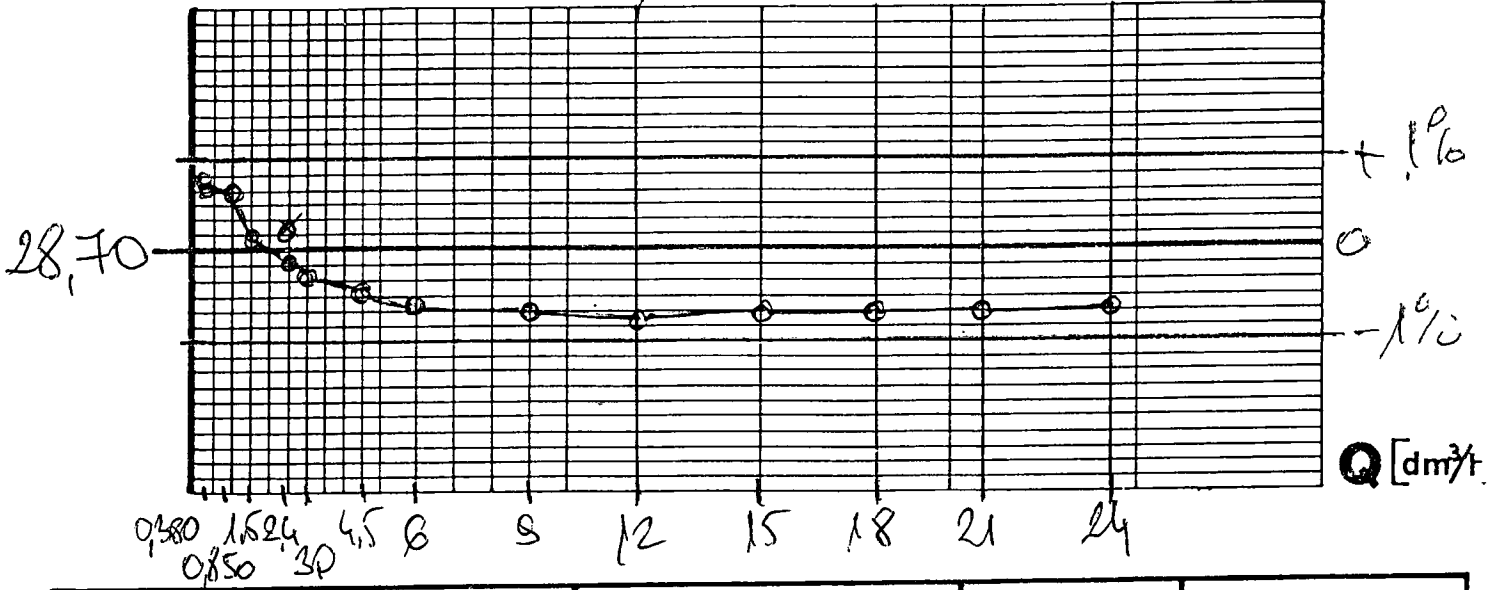
MIERNIK NR

wzorcowanie wodą

WZORCOWANIE

[imp/dm<sup>3</sup>] K

WIRNIK N5



Lp.	Q [dm <sup>3</sup> /h]	N [imp]	H [mm]	V [dm <sup>3</sup> ]	K [imp/dm <sup>3</sup> ]
21	1500	5720	289	199,10	28,73
22	1500	5760	292	199,86	28,42
23	850	5868	285	203,10	28,89
24	850	5786	284	202,36	28,88
25	680	5715	283	197,60	28,92
26	680	5732	286	197,36	28,90

ZUJNIK NR ⑤

R32-50M

DATA 26.06.17

MIERNIK NR

wzorcowanie wodą

WZORCOWANIE

[imp/dm<sup>3</sup>] K WIRNIK N5

Q [dm<sup>3</sup>]

Lp.	Q [dm <sup>3</sup> /h]	N [imp]	H [mm]	V [dm <sup>3</sup> ]	K [imp/dm <sup>3</sup> ]	
1	2000	5018	697	176,05	28,51	
2	2000	5740	785	201,47	28,49	
3	21000	5720	785	200,72	28,50	
4	21000	5722	786	202,85	28,49	
5	18000	5744	785	201,47	28,51	
6	18000	5746	789	201,60	28,50	
7	15000	5086	725	199,98	28,48	
8	15000	5704	793	203,22	28,49	
9	12000	5405	725	189,95	28,45	
10	12000	5786	807	203,60	28,47	
11	8000	5724	792	200,85	28,50	
12	8000	5692	792	199,86	28,48	
13	6000	5789	804,5	202,97	28,52	
14	6000	5733	797	201,10	28,51	
15	4500	5714	793	200,10	28,56	
16	4500	5730	786	200,85	28,53	
17	3000	5726	793	200,10	28,62	
18	3000	5789	795	200,60	28,61	
19	2100	5716	780,5	199,47	28,66	
20	2100	5743	784,5	200,47	28,66	